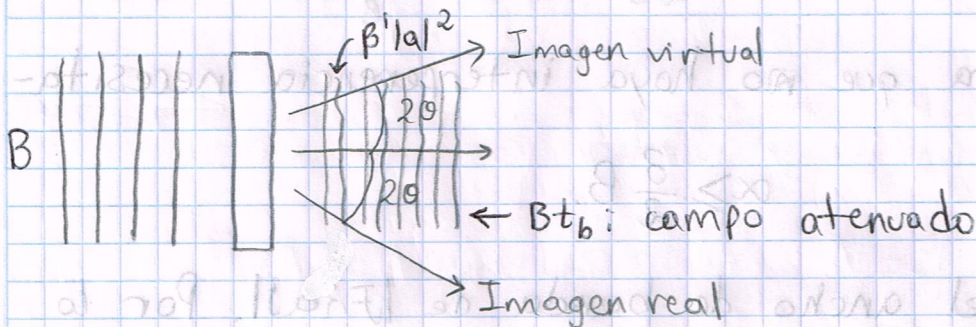


01/12/2021

En la actualidad podemos utilizar interferómetros para dividir un frente de onda, que es la esencia del holograma de Leith-Upatnieks.

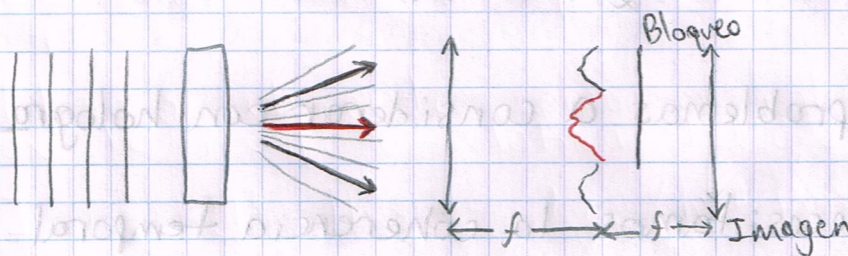
Continuando con el holograma de Leith-Upatnieks:

$$t_A(x,y) = t_b - \beta'(|a|^2 + A^* a e^{i2\pi \alpha y} + A a^* e^{-i2\pi \alpha y})$$

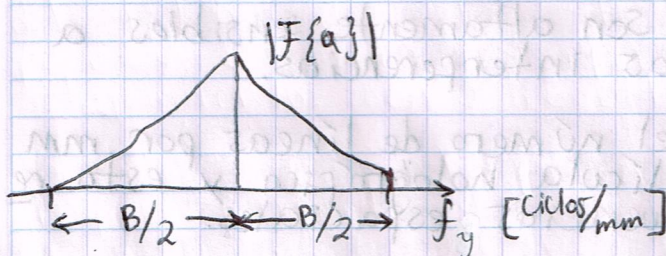


El campo Bt_b si lo podemos considerar acotado pues es el de una onda plana B atenuada, no difracta. Sin embargo, el campo de $\beta'|a|^2$ si difracta e interfiere con el ancho en frecuencias de los otros dos con máximos en 2θ y -2θ .

¿Cuál es el valor de α o 2θ mínimo, de tal forma que los frentes de onda se separen?



En la imagen sólo lo dejamos las frecuencias de la imagen real.



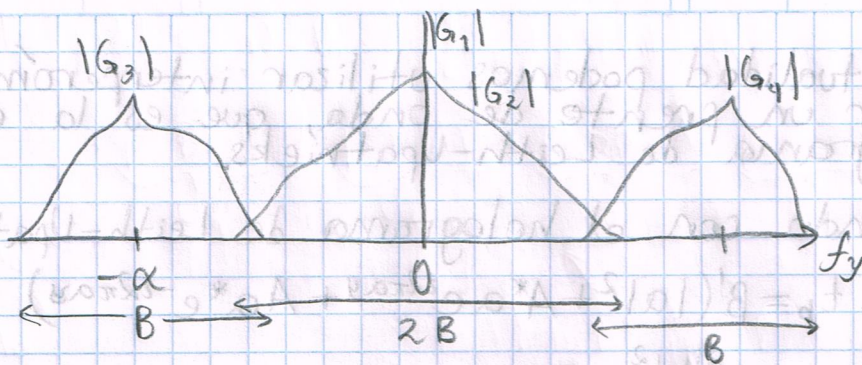
$$G_1(f_x, f_y) = F\{t_1(x,y)\} = t_b \delta(f_x, f_y)$$

$$G_2(f_x, f_y) = F\{t_2(x,y)\}$$

$$= \beta' G_a^* * G_a$$

$$G_3(f_x, f_y) = \beta' A^* G_a(f_x, f_y - \alpha), \quad G_4(f_x, f_y) = \beta' A G_a^*(f_x, f_y - \alpha),$$

con $G_a = F\{a\}$. De manera que



Entonces para que no haya interferencia necesitamos que

$$\alpha \geq \frac{3}{2} B.$$

Donde B es el ancho de banda de $|F\{a\}|$. Por lo tanto

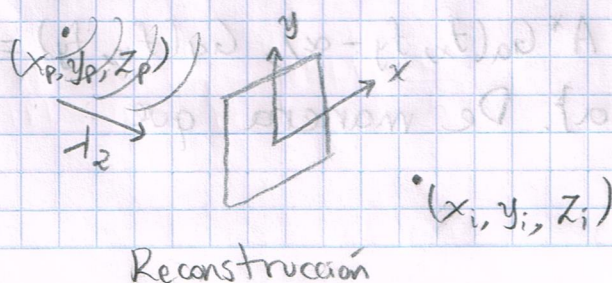
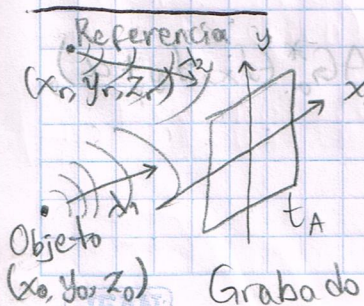
$$\theta_{\min} = \frac{1}{2} \arcsen\left(\frac{3B\lambda}{2}\right).$$

Si $|a| \ll |A| \Rightarrow U_2 \propto |a|^2$ va a ser muy pequeño y podemos relajar la anterior condición por

$$\theta_{\min} = \frac{1}{2} \arcsen\left(\frac{B\lambda}{2}\right)$$

• Limitaciones (problemas a considerar con hologramas).

- Coherencia, necesitamos la coherencia temporal
- Estabilidad mecánica, son altamente sensibles a vibraciones debido a las interferencias.
- Rango dinámico; i.e. el número de líneas por mm que puede grabar una película holográfica y esta relación con las frecuencias espaciales.



$$t_A = |U_o + U_r|^2 \underset{\text{paraxial}}{\approx} \left| a e^{i \frac{\pi}{\lambda_1 z_o} [(x-x_o)^2 + (y-y_o)^2]} + A e^{i \frac{\pi}{\lambda_1 z_r} [(x-x_r)^2 + (y-y_r)^2]} \right|^2$$

$\lambda_2 = \lambda_1$ pues tienen que interferir. De lo anterior al desarrollar podemos obtener t_1, t_2, t_3 y t_4 . Luego

$$U_e = B e^{i \frac{2\pi}{\lambda_2 z_p} [(x-x_p)^2 + (y-y_p)^2]}, \text{ donde en todos estos casos}$$

$z_o, z_r, z_p < 0$. En realidad sólo nos interesa U_3 y U_4 . ¿Cuál es la posición de la imagen? Yo sé que la imagen tiene un campo de la forma

$$U_i(x, y) = k e^{-i \frac{\pi}{\lambda_2 z_i} [(x-x_i)^2 + (y-y_i)^2]},$$

dependiendo del signo de z_i esto representa la imagen real o virtual.

Desarrollando U_3 (o U_4) e igualando con U_i uno puede encontrar (x_i, y_i, z_i) para conocer la posición de la imagen. Se encuentra que

$$x_i = \mp \left(\frac{\lambda_2 z_i}{\lambda_1 z_o} x_o - \frac{\lambda_2 z_i}{\lambda_1 z_r} x_r \right) + \frac{z_i}{z_p} x_p,$$

$$y_i = \mp \left(\frac{\lambda_2 z_i}{\lambda_1 z_o} y_o - \frac{\lambda_2 z_i}{\lambda_1 z_r} y_r \right) + \frac{z_i}{z_p} y_p,$$

$$z_i = \left[\frac{1}{z_p} \mp \frac{\lambda_2}{\lambda_1 z_r} \mp \frac{\lambda_2}{\lambda_1 z_o} \right]^{-1}$$

Y luego la amplificación transversal es

$$M_t = \left| \frac{\partial x_i}{\partial x_o} \right| = \left| \frac{\partial y_i}{\partial y_o} \right| = \left| \frac{\lambda_2 z_i}{\lambda_1 z_o} \right|,$$

y la axial

$$M_a = \left| \frac{\partial z_i}{\partial z_o} \right| = \frac{\lambda_1}{\lambda_2} M_t^2.$$